

**دراسة توهين أشعة كاما لنظير ^{60}Co في دروع متراكب البولي أستر المدعّم
بمسحوق فيرایت الكالسيوم $\cdot\text{CaFe}_2\text{O}_4$**

ميثم سلمان أمانة

قسم الفيزياء- كلية العلوم - جامعة واسط

Study the Gamma Ray Attenuation of ^{60}Co in the Polyester Composite-Calcium Ferrite Powder Supported Shields.

Maitham S. Amana

Physics Department, Sciences College, Wasit University, Iraq

Abstract

This study included the production of composite materials shields of polyester fortified by Calcium Ferrite powder prepared by two different temperature degrees of annealing (800c° and 1000c°) to get the various size of the used granular powder.

Geiger counter tube system used to study of the susceptibility of these shields on gamma radiation attenuation that emitted from the ^{60}Co , were five types of nuclear shielding was prepared, two of them the powder annealed at temperatures 800c° different concentrations of the proportion of the addition are 2% and 7% were used in, and the other two the powder annealed at 1000c° and with the same concentrations above, the latter type is the pure polyester shield without any addition. The results showed that the linear attenuation coefficient μ increases and transmission coefficient T.F decreases with reinforcement powder concentration increasing in the sample and the granular size of the reinforcement powder increasing , and the relationship between the transmission factor the thickness of the shield X is an inverse, results also showed that the half values layer HVL and tenth value layer values TVL decrease with increasing of reinforcement powder concentration in the polymer and increasing of the granular powder size. The best results were achieved using a shield composite fortified by calcium Ferrite powder that annealed at 1000c° with a concentration of 7%, indicating that the best.

الخلاصة

تضمنت هذه الدراسة انتاج دروع من مواد متراكبة من مادة البولي أستر المدعّم بمسحوق فيرایت الكالسيوم المحضر بدرجتين حراريتين مختلفي التلبيس هما 800c° و 1000c° للحصول على حجم حبيبي مختلف للمسحوق المستخدم.

استخدمت منظومة أنابيب عداد كايكير لدراسة قابلية هذه الدروع في توهين أشعة كاما المنشعة من النظير ^{60}Co حيث تم تحضير خمسة انواع من الدروع التلوية اثنان منها استخدم فيماها المسحوق الملبد بدرجة حرارة 800c° وبتركيزين مختلفين لنسبة الإضافة هما 2% و 7% واثنان استخدم فيماها المسحوق الملبد بدرجة حرارة 1000c° وبالتركيز أعلى نفسه، والنوع الأخير هو درع البولي أستر التقى بدون أي إضافة.

بيّنت النتائج ان معامل التوهين الخطي μ يزداد وعامل النفاذ T.F يقل بزيادة تركيز مسحوق التدعيم في العينة وزيادة الحجم الحبيبي للمسحوق وان العلاقة عكسية بين عامل النفاذ وسمك الدرع X, كذلك بيّنت النتائج ان قيم طبقة السمك النصفى HVL و طبقة السمك العشاري TVL تقل بزيادة تركيز مسحوق التدعيم في البولي أستر وزيادة الحجم الحبيبي للمسحوق.

ان افضل النتائج تحققت باستخدام درع المتراكب المدعّم بمسحوق فيرایت الكالسيوم الملبد بدرجة حرارة 1000c° وبتركيز 7% ، مما يدل على انه الافضل في استخدامه كدرع ضد أشعة كاما من بين الدروع المستخدمة الأخرى.

الكلمات المفتاحية : أشعة كاما، الدروع، التوهين، عامل النفاذ، طبقة السمك.

المقدمة

مع الاستخدام المتزايد لنظائر أشعة كاما الفعاله في الصناعة والطب والزراعة، فقد أصبح من الضروري دراسة معاملات التوهين في مختلف المواد لأهميةها التكنولوجية والبيولوجية. فهناك حاجة دائمه لتطوير المواد التي يمكن استخدامها في ظل ظروف قاسيه من التعرض للأشعة النووية، والتي يمكن أن تكون بمثابة مواد تدريع (1).

إن الهدف من البحث الحالي هو الحصول على دروع أشعاعية سهلة الصنع والتشكيل وخفيفه الوزن تحل محل الدروع التقليدية تقليه الوزن وصعبه التشكيل مثل دروع الرصاص والحديد القابلة للتلاكس والتآكل مع مرور الزمن (2).

إن الدروع المصنعة في هذا البحث هي دروع مكونة من مادة البولي أستير المدعوم بمادة الفيراري (CaFe₂O₄) و بتراكيز مختلفة للحصول على دروع ذات قابلية جيدة للتوهين وأمتصاص أشعة كاما التي يمكن استخدامها بمدى واسع في التطبيقات الصناعية والطبية وال المجالات البيئية، وبشكل عام فإن البحث الحالي هو أمتداد لما قد تم دراسته في البحوث السابقة في هذا المجال.

لقد درس Sayala (3) في (2007) خواص التدريع لمواد متراكبة ضد أشعة كاما والنيوترونات باستخدامه الرصاص وبعض مركباته والليثيوم وبعض مركباته والزجاج المدعوم بالرصاص، وبنسب مختلفة وصنفها حسب حجمها الحبيبي، ووجد أن تقنية التدريع ضد أشعة كاما و النيترونات باستخدام مزيج مواد بمركبات متعددة للمتراكم يعطي دروعا افضل من تلك التي يستخدم فيها مواد ذات مركب واحد قام V. Harish (4) في (2012) بدراسة خواص التدريع لراتنج الأيزوفثالك (ISO) المدعوم بأكسيد الرصاص (PbO, PbO₂ and Pb₃O₄) وبتراكيز مختلفة باستخدام ثلاثة نظائر مشعة نقطية وهي Cs-137, Co-60 and Ba-133 (5) وبينت الدراسة ان من بين الأكسيد الثلاثة يعطي أفضل النتائج في توهين أشعة كاما ، كذلك اثبت ان معاملات التوهين تزداد بزيادة تركيز الأكسيد في البوليمر. كذلك قام Sh, Sharifi (5) واخرين في (2013) بدراسة نظرية لخصائص التدريع بين الاسمنت البورتلاندي الاعتيادي و اسمنت البارايت عالي الكثافه

‘ordinary and barite concrete’ (T.F. (HVL) وقيم طبقات السمك النصفي (HVL) لدروع

من انواع مختلفة من الكونكريت و بطاقات Kev (511,662, 1332)، حيث تبين ان قيم عامل النفاذ (T.F) تتناسب عكسيا مع سمك الدرع، وان قيمه تكون اكبر في حالة الاسمنت البورتلاندي منه في اسمنت البارايت ، وكذلك قد بين ان قيم (HVL) و(TVL) في مادة (بورتلاندي) تكون ذات قيمة اكبر منه في حالة استخدام (البارايت) حيث تدل هذه النتائج على ان الاخير ذو كثافة اعلى من الاول ، لذلك يكون توهينه او امتصاصه للاشعة اكبر.

المفاهيم النظرية

عند مرور اشعة كما خلال مادة ما فإن فوتونات تلك الاشعة أما ان تمر خلال المادة دون حصول اي تفاعل أو ان تتفاعل بتفاعلات الامتصاص والاستطرارة فتعاني حرمة فوتونات الاشعة الماره خلال المادة توهينها نتيجة ازالة الفوتونات المتفاعله منها، وقد يكون التوهين توهينها في طاقتها او توهينها في شدتها ، وتتناقص شدتها وطاقتها بزيادة طول مسارها خلال المادة (6).

ان تدريع اشعة كما يتضمن تفاعل اشعة كما مع المادة من خلال ثلاث عمليات رئيسية هي الظاهرة الكهروضوئية واستطرارة كومبتن وانتاج زوج الكترون-بوزترون. وتجدر الاشارة هنا ان شروط حدوث هذه التفاعلات تختلف من تفاعل لآخر، فالتأثير الكهروضوئي يحدث عند الطاقات العالية لاشعة كما والاعداد الذريه العالية لمادة الدرع، وظاهرة كومبتن تحدث عند الطاقات الواطنه والاعداد الذريه المتوسطة بينما شروط حدوث انتاج الزوج تحدث فقط عند الطاقات العالية جدا والتي تكون اكبر من 1022Kev.

إن مجموع احتماليات حدوث التفاعلات الثلاث اعلاه يعبر عنها بالاحتمالية الكلية لوحدة الطول من المسار التي تزال فيها فوتونات كما من الحرمة الساقطة للاشعة ويطلق عليها بمعامل التوهين الخطى (μ) والذي يقاس بوحدات (cm^{-1}) ويمكن كتابتها بالعلاقة الآتية (7):

$$\mu = \kappa + \sigma + \tau \quad \dots \dots \quad (1)$$

حيث ان

τ : احتمالية تفاعل التاثير الكهروضوئي،

σ : احتمالية تفاعل تاثير كومبتن ،

κ : احتمالية تفاعل انتاج الزوج.

ان توهين اشعة كما (الامتصاص والاستطرارة) داخل المادة يمكن أن تغير شدة الحرمة الضيقه (الحرمة المسددة بشكل جيد) لاشعة كما مع تغير سمك المادة ، وإن شدة حرمة اشعة كما الماره خلال حاجز أو درع يمكن حسابها باستخدام العلاقة الآتية (8):

ان عامل النفاذ $T.F$ لإشعارات كاما في أي مادة هو دالة لطاقة الاشعة وسمك المادة $(T(E,x))$ حيث يعرف بأنه نسبة شدة اشعة كاما بوجود مادة الدرع $(N(E,x), \text{or } N)$ الى شدة اشعة كاما بعدم وجود أي درع $(N(E,0), \text{or } N_0)$ ، وكما مبين في المعادلة رقم (8),(5):

$$T(E,x) = N(E,x)/N(E,0) \dots\dots (8)$$

or: $T.F = N/N_0$

الجانب العملي يمكن تصنيف مواد الفيرايit الى ثلاثة أصناف تبعا الى التركيب البلوري وكالاتي : السبيبنل فيرايit Spinel Ferrite ويتمثل فيرايit الكالسيوم Calcium Ferrite ذو الصيغة الكيميائية CaFe_2O_4 ، فيرايit السادساني Hexagonal Ferrite وفيرايit الكارنيت Garnet Ferrite (11) وحضرت العينات من مركبات فيرايit السبيبنل باستخدام الطريقة السيراميكية (طريقة تفاعل الحالة الصلبة) ، وكان التلبيد النهائي لهذه العينات بدرجتين حراريتين $1000,800^\circ\text{C}$ على التوالي وبسمك واحد، ان السبب في اختيار مواد الفيرايit بصورة عامة يرجع الى ان خصائصها المغناطيسية تجعل منها مواد ذات امتصاصية عالية للاشعة، فمن المهم جدا اختيار مواد اولية ذات نقاوة عالية لكي تتجنب أي تاثير على خواص المركب(12).

1- منظومة القياس في هذه الدراسة، كانت منظومة اجهزة القياس المستخدمة هي كاشف عدد كايكرو- مولر استرالي المنشأ نوع (GAT: PA1885-020, type ABC) وناظير الكوبالت-60 المشع، وبفعالية اشعاعية مقدارها $0.699 \mu\text{Ci}$ ، و التي تبعث فوتونات اشعة كما بمعدل طاقة مقدارها 1.253MeV ، وتم وضعه على مسافة 12cm عن نافذة الكاشف، وتم تشغيل الكاشف بفولتية مقدارها 500V وزمن عد مقداره 1000s.

2- عينات الدروع والمسدّدات تم صنع عينات الدروع من بوليمر بولي استر النقي والمدعّم بمساحيق السبيبنل فيرايit المحضر بدرجتين حراريتين $1000,800^\circ\text{C}$ (1000,800) و بتراكيز إضافة 2% و 7% للمسحوق من كتلة البوليمر في عينة الدرع وكانت العينات ذات شكل اسطواني و ذات مقطع دائري بقطر (4cm) ، و سماكة (0.9cm) ، للحصول على حزمة ضيقة من فوتونات اشعة كما من اجل دراسة عامل التوهين الخطي لها في مادة الدرع، فقد تم ترتيب منظومة القياس بالترتيب الهندسي الجيد (الشكل رقم 1) .

$$N = N_0 e^{-\mu x} \dots\dots (2)$$

حيث (N) تمثل شدة حزمة الاشعة المارة خلال مادة الدرع التي سمكتها (x) ، و(N_0) تمثل شدة الاشعة المقاسة بدون وجود مادة الدرع ، (μ) تمثل عامل التوهين الخطي لأشعة كاما في المادة.

يمكن استخدام المعادلة (2) لحساب عامل التوهين الخطي باخذ لوغاريتم النسبة (N/N_0) وكما في المعادلة الآتية :

$$\ln(N/N_0) = -\mu x \dots\dots (3)$$

وبرسم العلاقة الخطية بين قيم (N/N_0) وقيم السمك (x) نحصل على خط مستقيم ميله يمثل مقدار(μ).

أن عامل النفاذ في وسط مادي هو دالة لطاقة الاشعة وسمك الوسط ($T(E,X)$) ويعرف بأنه النسبة بين شدة الاشعة النافذة ((N(E,X))) خلال السمك (X) لمادة الدرع الى شدة الاشعة بغياب مادة الدرع ((N(E,O))) وكما مبين في المعادلة الآتية (5) :

$$T(E, X) = N(E, X) / N(E, O) \dots\dots (4)$$

أتفق العلماء على صيغة ومفهوم معدل المسار الحر(λ) والذي يعرف بأنه المسافة المقطوعة بين تصادمين متتاليين، ويرمز له بالرمز (mfp) ويمكن حسابه بالمعادلة الآتية (9):

$$\lambda(\text{cm}^{-1}) = (1/\mu) \dots\dots (5)$$

كذلك تستخدم كميات اخرى لمقارنة المواد المستخدمة في تدريب المصادر المشعة وافضليتها في توهين اشعة كما مثل طبقة السمك النصفي (HVL) والتي تعرف بأنها سمك مادة الدرع المطلوبة لتقليل قيمة شدة الاشعة الساقطة الى نصف قيمتها الاصلية عند طاقة محددة والتي تعطى بالعلاقة الآتية :

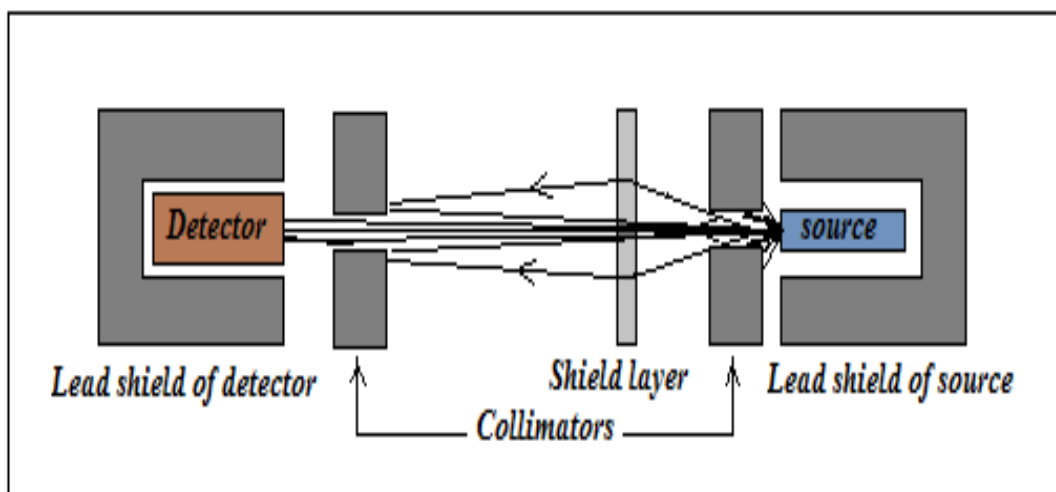
$$HVL = \ln(2) / \mu \dots\dots (6)$$

وطبقة السمك العشري (TVL) والتي تمثل سمك مادة الدرع المطلوبة لتقليل قيمة شدة الاشعة الساقطة الى عشر قيمتها الاصلية او الساقطة عند طاقة محددة وكما في العلاقة الآتية (10):

$$TVL = \ln(10) / \mu \dots\dots (7)$$

وضع مسدد الكاشف على مسافة (1.5cm) عن نافذة الكاشف والذي يمتلك فتحة دائرة مركزية مقدارها (1.6cm).

باستخدام المسدّدات من مادة الرصاص ذات ابعاد (5×5×1.5)cm حيث وضع مسدد المصدر المشع الذي يحتوي فتحة دائرة مركزية مقدارها (0.5cm) على مسافة (0.5cm) عن المصدر و



الشكل (1): الترتيب الهندسي لمنظومة عداد كاير المستخدمة في العمل

النتائج والمناقشة

الخطي لمادة ذلك الدرع ضد أشعة كما عند قيمة الطاقة (1.253)MeV حيث امتدت قيمة هذا المعامل من cm^{-1} (0.1312) لدرع البولي أستر النقى(S1) إلى (0.2233cm $^{-1}$) لدرع متراكم البولي أستر المدعّم مسحوق مادة السبينل فيراري بتركيز 7% وبدرجة حرارة 1000°C، حيث يبيّن ان الاخير هو الافضل في توهين اشعة كما المستخدمة مقارنة بالدروع الاخرى المستخدمة في هذا البحث وكما هو موضح في الشكل (3) الذي يمثل مخططًا بيانيًا لقيم معامل التوهين الخطى (μ) لكل درع من الدروع المستخدمة.

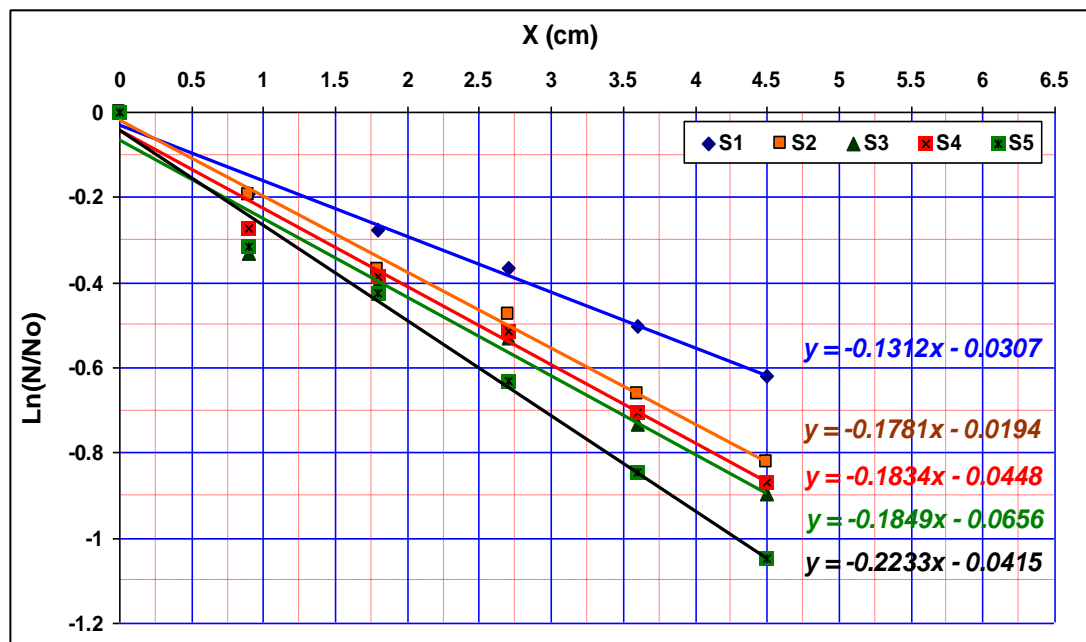
تم وضع رموز معينة لعينات الدروع المستخدمة حسب نوع كل منها لسهولة الاشارة إليها في الجداول والاشكال البيانية المرسومة وكما مبين في الجدول رقم (1)، لقد تم ترتيب نتائج وحسابات هذا البحث في الجدول (2) ومن خلال حساب لوغاريتم نسب معدلات العد $Ln(N/N_0)$ لنماذج العينات جميعها، إذ تم حساب معاملات التوهين الخطى (μ) من شكل العلاقة المرسومة بين $Ln(N/N_0)$ وسمك الدرع (X) بوحدات cm كما في الشكل (2)، حيث ان ميل الخط المستقيم لشكل هذه العلاقة لا يمثل معامل التوهين μ .

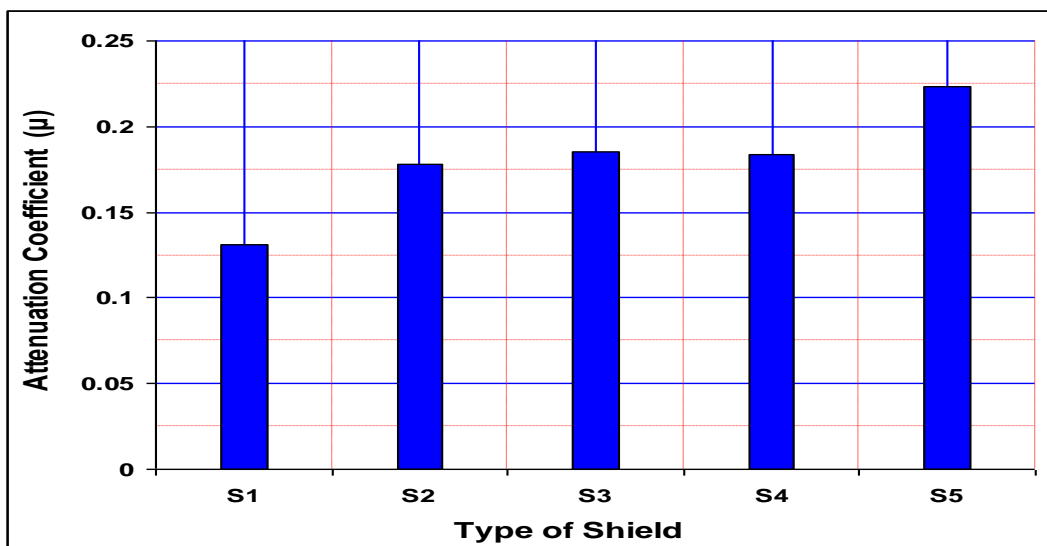
جدول (1): رمز العينة ، نوعها، نسب التراكيز ودرجة حرارة التلبيس.

Symbol	Shield sample
S1	PolyesterPure
S2	Polyester + 2% spinel Ferrite prepared at 800°C
S3	Polyester + 7% spinel Ferrite prepared at 800°C
S4	Polyester + 2% spinel Ferrite prepared at 1000°C
S5	Polyester + 7% spinel Ferrite prepared at 1000°C

جدول (2): قيم معدل العدد N ولوغاريتmic نسبة العدد $\ln(N/N_0)$ لفوتوونات أشعة كاما المنبعثة من نظير- $Co-60$ المشع والنافذة من الدرع كدالة لسمك مادة الدرع X بوحدات (cm) للدواوين المستخدمة في البحث.

X (cm)	S1		S2		S3		S4		S5	
	N	$\ln(N/N_0)$								
0	1454	0	1454	0	1454	0	1454	0	1454	0
0.9	1203	-0.1895	1197	-0.1945	1046	-0.3294	1108	-0.2718	1062	-0.3142
1.8	1102	-0.2772	1006	-0.3683	974	-0.4007	989	-0.3854	951	-0.4246
2.7	1010	-0.3644	903	-0.4764	855	-0.5310	871	-0.5124	772	-0.6331
3.6	879	-0.5029	751	-0.6606	700	-0.7312	718	-0.7051	624	-0.8454
4.5	781	-0.6210	640	-0.8209	593	-0.8977	609	-0.8701	511	-1.0464

الشكل (2): علاقة قيمة لوغاريتmic نسبة العدد $\ln(N/N_0)$ كدالة لسمك الدرع X بوحدات (cm) لنماذج الدروع المستخدمة باستخدام نظير $Co-60$ المشع.



شكل (3): مخطط قيم معامل التوهين μ بوحدات (cm^{-1}) لأشعة كاما المنبعثة من نظير Co-60 المشع كدالة لنوع مادة الدرع.

يكون اكبر مما يسبب توهين واضعاف حزمة الفوتونات الساقطة وهذا ما يتافق مع ما جاء في (15). Taqijohn

ولحساب قيم معدل العد (N) وقيم لوغاريتيم نسب معدلات العد $\ln(N/N_0)$ لمدى واسع من قيم السمك تم استخدام معدلات الخطوط المستقيمة لقيم اخرى للسمك (X), الجدولان (3) و(4) يمثلان قيم عامل النفاد ($T.F$) ومعامل التوهين (μ) الخطى وطبقات السمك النصفي (HVL) والعشري (TVL) ومعدل المسار الحر (λ).

ان قيمة معامل التوهين الخطى (μ) للدرع S1 الذي يمثل درع مادة بولي استر النقى تزداد بزيادة تركيز مادة التقوية ويعود السبب في زيادة كثافة الدرع ومن ثم زيادة احتمالية تفاعل الفوتون لكاما مع المادة وخصوصا تفاعل التاثير الكهروضوئي وهذا يتافق مع نتائج (13) Honodorp , Shafik (14).

كما يتبيّن ايضا ان مسحوق السبييل فير ايست المستخدم كمادة تقوية يكون الافضل في توهين اشعة كاما في حالة تلبية بدرجة 1000°C والسبب في ذلك كون هذه المادة تكون ذات حجم حبيبي كبير ومن ثم فان المقطع العرضي لتفاعل فوتونات كما

جدول (3): قيم معدل العد N ولوغاريتيم نسبة العد $\ln(N_0/N)$ وعامل النفاد $T.F$ لفوتونات أشعة كاما المنبعثة من نظير Co-60 المشع والنافدة من الدرع كدالة لسمك مادة الدرع X بوحدات (cm) للدرء المستخدمة في البحث.

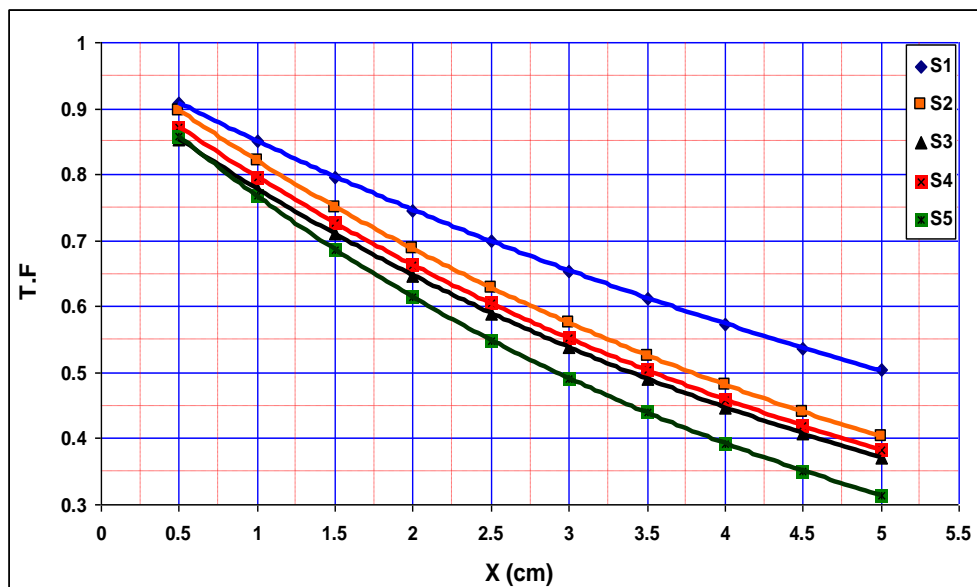
X (cm)	S1		S2		S3		S4		S5	
	$\ln(N_0/N)$	T.F								
0.5	-0.0963	0.9082	-0.1085	0.8972	-0.1581	0.8538	-0.1365	0.8724	-0.1532	0.8580
1	-0.1619	0.8505	-0.1975	0.8208	-0.2505	0.7784	-0.2282	0.7960	-0.2648	0.7674
1.5	-0.2275	0.7965	-0.2866	0.7509	-0.3430	0.7097	-0.3199	0.7262	-0.3765	0.6863
2	-0.2931	0.7459	-0.3756	0.6869	-0.4354	0.6470	-0.4116	0.6626	-0.4881	0.6138
2.5	-0.3587	0.6986	-0.4647	0.6283	-0.5279	0.5899	-0.5033	0.6045	-0.5998	0.5490
3	-0.4243	0.6542	-0.5537	0.5748	-0.6203	0.5378	-0.5950	0.5516	-0.7114	0.4910
3.5	-0.4899	0.6127	-0.6428	0.5258	-0.7128	0.4903	-0.6867	0.5032	-0.8231	0.4391
4	-0.5555	0.5738	-0.7318	0.4810	-0.8052	0.4470	-0.7784	0.4591	-0.9347	0.3927
4.5	-0.6211	0.5374	-0.8209	0.4401	-0.8977	0.4075	-0.8701	0.4189	-1.0464	0.3512
5	-0.6867	0.5032	-0.9099	0.4026	-0.9901	0.3715	-0.9618	0.3822	-1.1580	0.3141

جدول (4): قيم μ بوحدات (cm⁻¹) ، HVL (cm) و λ بوحدات (cm) كدالة لنوع مادة الدرع باستخدام نظير Co-60 المشع.

Shield	μ	HVL	λ	TVL
S1	0.1312	5.2831	7.621951	17.5502
S2	0.1781	3.8919	5.614823	12.9286
S3	0.1849	3.7488	5.408329	12.4531
S4	0.1834	3.7794	5.452563	12.5550
S5	0.2233	3.1041	4.47828	10.3116

اقل منه في الدروع الأخرى ولكل قيم السمك أيضاً، كذلك فإن قيم عامل النفاذ T.F عند أي قيمة من قيم السمك للدروع المستخدمة يتناقص بزيادة تركيز مادة التقوية المستخدمة كذلك تكون قيمة اصغر ما يمكن في حالة استخدام مسحوق السبيبنل في رايتن الملن عند درجة 1000°C وهذا السلوك يفسر بنفس تفسير سلوك معامل التوهين الخطي اعلاه مع الاخذ بنظر الاعتبار تعاكش سلوك عامل النفاذ مع سلوك معامل التوهين لكون العلاقة بينهما عكسية.

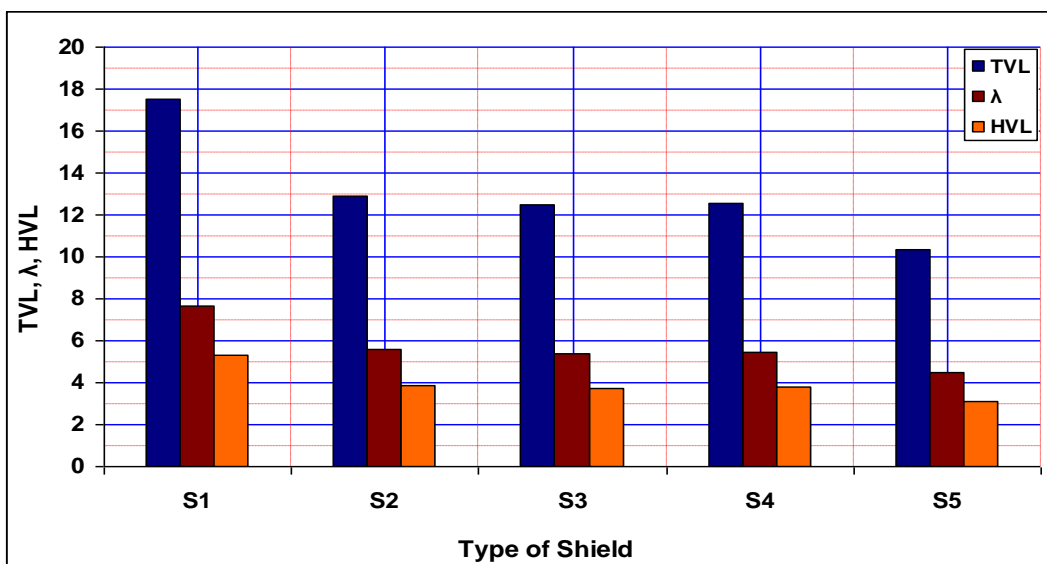
رسمت العلاقة لقيم عامل النفاذ T.F كدالة لسمك الدرع (Transmission Factor) ولكل نوع من نماذج العينات المستخدمة كما مبين في الشكل رقم (4)، وكما هو واضح من ملاحظة الشكل فإن علاقة عامل النفاذ T.F بسمك المادة هي علاقة اسية تناظرية ولأنواع الدروع جميعها وهذا السلوك منطبق تماماً مع المفهوم النظري للمعادلة رقم (8) ومتقى وبشكل كبير مع النتائج العملية لدراسات سابقة (15,16). كما نلاحظ ان قيم عامل النفاذ تكون اكبر في حالة الدرع (S5)



شكل (4): علاقة قيم عامل النفاذ T.F لأشعة كاما المنبعثة من نظير الكوبالت المشع Co-60 كدالة لسمك الدرع X بوحدات (cm) لجميع أنواع الدروع المستخدمة.

اصغر منه في الدرع التي استخدم فيها السبيبنل في رايتن الملن بدرجة 800°C كمادة تقوية وذلك بسبب كون حزمة الاشعة ستعانى توهين اكبر لكل وحدة طول من مسارها بزيادة تركيز المادة بسبب كبر احتفالية تعاقبها مع المادة مما يؤدي الى تناقص طول مسارها خلال مادة الدرع وهذا يتفق مع نتائج الدراسات السابقة (4,5).

رسمت قيم معدل المسار الحر (λ) ، طبقة السمك النصفى HVL و طبقة السمك العشري TVL المحسوبة بالمعادلات (5,6,7) كدالة لنوع الدرع بمخطط بياني كما في الشكل (5). ان المخطط في الشكل السابق يبين ان قيم هذه الكثيبات تكون اكبر ما يمكن في حالة الدرع S1 وتتناقص تدريجياً بزيادة تركيز مادة التقوية وتكون قيمتها في حالة مسحوق السبيبنل في رايتن الملن بدرجة 1000°C



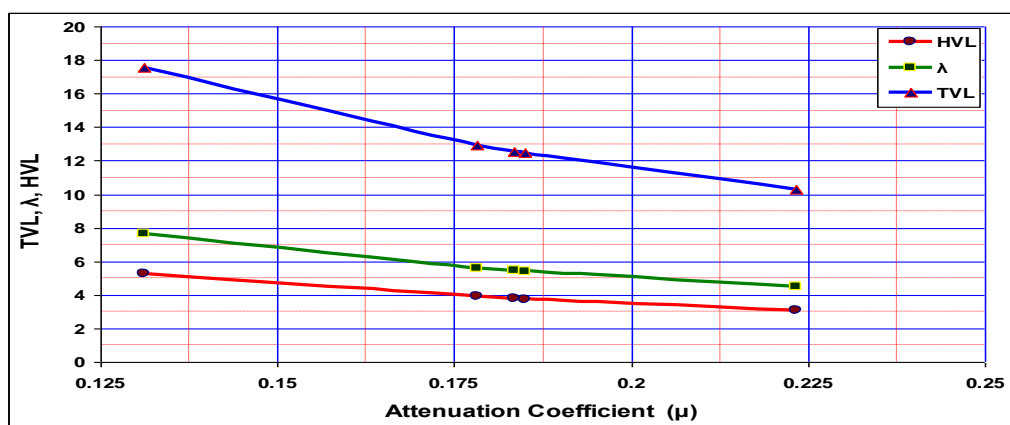
شكل (5): مخطط لقيم طبقة السمك النصفي HVL ومعدل المسار الحر TVL بوحدات cm^{-1} كدالة لنوع الدرع باستخدام نظير الكوبالت المشع $Co-60$.

الخطي لأشعة كاما المنبعثة من الكوبالت ($Co-60$) المشع في مادة الدرع ، وكما هو واضح من هذا الشكل ان قيم هذه الكميات يتناقص بزيادة معامل التوهين الخطى لتلك الاشعة في المادة وهذا ينطوى تماما مع ما جاء في الاساس النظري كما في المعادلات (5,6,7) .

تأثير آخر يمكن أن يفسر سبب الاختلاف في البيانات بين طبقة السمك النصفي HVL و طبقة السمك العشري TVL ، الذي يؤثر أيضا على دقة حسابات الدروع باستخدام هذه المؤشرات، هو التغير في الطيف الإشعاعي الذي يحدث مع زيادة العمق في المواد. اعتمادا على تركيبة مادة الدرع وطاقه كاما الساقطة (17,18).

ذلك يمكن ملاحظة انه في حالة مسحوق السبييل فيرايت الملبد بدرجة $1000^{\circ}C$ (الدروع S4 و S5) تكون قيم HVL ، TVL ، λ اصغر منه في الدروع التي استخدم فيها السبييل فيرايت الملبد بدرجة $800^{\circ}C$ (الدروع S2 و S3) كمادة تقوية ، ونفسير ذلك هو كبر الحجم الحبيبي في الحالة الاولى (الدروع S4 و S5) عنده في الحالة الثانية (الدروع S2 و S3) وهذا ايضا سببه كون الحجم الحبيبي يعطي احتمالية تفاعل اكبر لأشعة كاما داخل مادة الدرع .

يبين الشكل (6) علاقة كل من طبقة السمك النصفي HVL و طبقة السمك العشري TVL ومعدل المسار الحر λ للدروع المستخدمة بمعامل التوهين



شكل (6): علاقة قيم طبقة السمك النصفي HVL ومعدل المسار الحر TVL بوحدات cm^{-1} كدالة لقيم معامل التوهين الخطى μ بوحدات (cm^{-1}) لجميع الدروع المدروسة باستخدام نظير الكوبالت المشع $Co-60$.

دروع المتراكم المستخدمة في البحث الحالي اكبر من قيمها لدروع الالمنيوم ومتراكم الايبوكسي المدعوم بتركيز 2% من مسحوق (Pb_3O_4), وبالتالي فان الدروع المصنعة والمدروسة في البحث الحالي افضل من مادة الالمنيوم ومن متراكم الايبوكسي المدعوم بتركيز 2% من مسحوق (Pb_3O_4) في استخدامها كدروع ضد اشعة كاما.

إن قيم μ , HTV و TVL للدروع ذات التراكيز 2% و 7% لمساحيق التدعيم والمتمثلة بالنماذج S5 , S4 , S3 , S2 تم مقارنتها مع قيمها في مواد الدروع التقليدية المدروسة في اغلب البحوث السابقة لخواص التدريع لمواد الرصاص والحديد والالمنيوم ودرع متراكم الايبوكسي المدعوم بتركيز 2% من مسحوق (Pb_3O_4) وكما مبين في الجدول (5) والذي يبين ان قيم معامل التوهين في

جدول (5): مقارنة قيم μ , HVL و TVL لنماذج الدروع S2 , S3 , S4 و S5 المحسوبة في البحث الحالي مع قيمها للرصاص وال الحديد والالمنيوم ودرع متراكم الايبوكسي المدعوم بتركيز 2% من مسحوق (Pb_3O_4) في دراسات سابقة باستخدام نظير ^{60}Co - المشع.

Type of Shield	Present work				Previous work			
	S2	S3	S4	S5	Pb	Fe	Al	Epoxy/2% Pb_3O_4 Composite ⁽²¹⁾
μ (cm ⁻¹)	0.1781	0.1849	0.1834	0.2233	0.6715 ⁽¹⁹⁾ 0.581 ⁽¹⁶⁾ 0.6669 ⁽²¹⁾ 0.5775 ⁽²¹⁾	0.421 ⁽²⁰⁾ 0.4212 ⁽²¹⁾ 0.1483 ⁽²¹⁾	0.149 ^(20, 9) 0.108	1.1732 MeV 1.2745MeV
HVL (cm)	3.8919	3.7488	3.7794	3.1041	1.56 ⁽¹⁶⁾ 1.2 ⁽¹⁶⁾ 1.5 ⁽¹⁸⁾ 1.6 ⁽¹⁸⁾ 1.2 ⁽²¹⁾		6.4	7.37
TVL (cm)	12.928	12.453	12.555	10.311	4.53 ⁽¹⁶⁾ 4.0 ⁽¹⁶⁾ 4.2 ^(16,19) 4.1 ⁽¹⁸⁾ 4.6 ^(16,18)		21.3	24.47

4-V. Harish , Nagaiah and H. G. Harish Kumar, (2012).Lead Oxides filled with Isophthalic resin polymer composites for Gamma radiation shielding applications”, Indian Journal of Pure & Applied Physics,50: 847-850.

5-Sh.Sharifi, R. Bagheri, s.p. shirmardi,(2013).Comparison of shielding properties for ordinary, barite,septentine and steel-magnetite concretes using MCNP-4C code and available experimental results "Annals of Nuclear Energy, 53, 529-534.

6-Tait,W, H., (1980). Radiation Detection ”, Butter worths , U.K.

7-G. F. Knoll, (2000).Radiation Detection and Measurement”, 3rd edition.John Wiley, New York, Physics of Nuclear Medicine.

8-G. Knoll, (2010).Radiation Detection and Measurement” John Wiley and Sons.NewYork ,Third

9-N.Tsoulfanidis,(1983).Measurement and Detection of Radiation" MC Graw-Hill, New York Company, 2nd ed.

10-I. Akkurt, B. Mavib, K. Gunoglu, H. Akyildirim and H. Canakcic, (2013).Photon Attenuation Coefficients of Iron Doped Clayat 662 keV , Proceedings of the 2nd International Congress APMAS2012, April 26_29, 2012, Antalya, Turkey, Acta Physica Polonica A, 123 (2).

11- S. Alon, and K. Jadhav, (2008), "structure and magnetic properties of zinc and aluminum- substituted cobalt ferrite prepared by co-precipitation method.70(1):137.

الاستنتاجات

1- أن الطريقة السيراميكية المتّبعة لتحضير السبيّنل فيرایت في هذه الدراسة تعطي مادة ذات توهين جيد لأشعاعات كاما.

2- درجة حرارة التلبيذ لها تأثير مهم في تشكيل مواد الفيرایت فهي تؤثر في حجمها الحبيبي وقابلية توهينها للأشعة عند استخدامها كمواد تقوية في البولي أستر .

3- تزداد قيمة معامل التوهين الخطى لأشعة كاما في دروع المترافق بزيادة درجة حرارة التلبيذ لمادة السبيّنل فيرایت وبالتالي تقل قيمة عامل النفاذ ومعدل المسار الحر وطبقتي السمك النصفى والعشري .

4- تزداد قيمة معامل التوهين الخطى لأشعة كاما في عينات الدروع بزيادة تركيز مسحوق السبيّنل فيرایت في مادة البولي أستر.

5- يقل عامل النفاذ ومعدل المسار الحر وطبقتي السمك النصفى والعشري بزيادة تركيز مسحوق السبيّنل فيرایت في عينة درع البولي أستر وبزيادة سمك الدرع.

6- أن افضل الدروع المستخدمة هي التي تكون درجة حرارة التلبيذ لها اكبر من (1000°C) وذات تركيز مادة تقوية اكبر (7%).

المصادر

1- J.F. Krocher, R.E. Brownman, (1984). Effects of Radiation on Materials and Components, Reinhold (Eds)." New York.

2-M.M. Abdullah, (2014).The measurement and the calculation of the linear attenuation and mass coefficient X-ray and Beta -rays using cement slabs", Journal of Basra Research, Vol. 4, Iss. 40.

3-S.Dasharatham, (2007). Composite materials and techniques for neutron and gamma radiation shielding, United States Patent.USA. 11/121, 852.

- 17- IPEM (The Institute of Physics and Engineering in Medicine), (1997).** The design of radiotherapy treatment room facilities," Report No. 75. IPEM, York.
- 18-IAEA (International Atomic Energy Agency), (2006).**Radiation protection in the design of radiotherapy facilities safety, Reports Series No. 47. IAEA, Vienna.
- 19-I. M. Rahman, (2010).**Calculation the number buildup factor of cylindrical samples for Brass, Copper &lead", Baghdad Journal of Science, 7(3).
- 20-S. H. Terar.,(2012).**Study of effective atomic number, hole diameter of the collimator and energy of radiation source on Buildup factor in material, Journal of Kufa – Physics,4 (2):9-17.
- 21-Gh. A. Eid, A.I.Kany, M. M.EI-Toony, F.A. Gaber and bashter, (2013).**Application of Epoxy/ Pb₃O₄ Composite for Gamma Ray Shielding, Arab Journal of Nuclear Science and Applications.46(2):226-232.
- 12-W. Aulock and C. Fay. (1968).**Liner ferrite Devices for microwave Applications ", New York.
- 13- S. Shafik, B.Rejah, R. Mahmood and W. Fazaa. (2011).** Study the Shielding Properties against Gamma-rays for Epoxy Resin Reinforced by Different materials. Baghdad, Journal of Science, 8(3).
- 14-Honodorp, H. (1983).**Radiation Shielding of New Composite Materials. Nucl. Sci. Eng; 45 (2):122-125.
- 15-H.Taqijohn.(2012).**Semi-empirical study for spinel and Hexagonal Ferrites as Radar Absorbing Materials".M.Sc.thesis, University of Wasit, College of Science, PP3.
- 16-P. Papagiannis, D.Baltas, J. Gimeno ,D.Graner,(2008).**Radiation transmission data for brachytherapy facility shielding, Medical Physics, 35 (11): 4898-4906.